

## ویژگی‌های ساختی، بافتی، کانی‌شناسی و ژئوشیمیایی و الگوی تشکیل کانسار انگوران در مثلث کانسارهای نوع متصاعدی-رسوبی (Sedex)، سولفید توده‌ای (MVT) و دره می‌سی‌سی‌پی (VMS)

محمد حسن ابراهیمی، علیجان آفتابی\*

گروه زمین‌شناسی، دانشگاه شهید باهنر کرمان، کرمان، ایران

### چکیده

کانسار انگوران در ۱۲۵ کیلومتری غرب زنجان و در زون سنندج-سیرجان واقع شده است. این کانسار در سنگ‌های دگرگونی شیست و مرمر با سن پروتزوژئیک واقع شده است. ذخیره کانسار حدود ۴/۷ میلیون تن کانسنگ سولفیدی با عیار ۲/۷ درصد روی و ۲/۴ درصد سرب و ۱۱۰ گرم در تن نقره و حدود ۱۴/۶ میلیون تن کانسنگ غیرسولفیدی با عیار ۲۲ درصد روی و ۴/۶ درصد سرب برآورد شده است. کانسار انگوران در اثر کافته شدن منطقه و فعالیت سیالات گرمابی در کف حوضه و تشکیل کانی‌های اسفالریت و گالن همزمان با شیل و کربنات در زمان پروتزوژئیک ایجاد شده است. بعد از آن کانسار به همراه سنگ همبر در رخساره شیست دگرگون شده است. کانسار سوپرژن انگوران نیز در نتیجه اکسیداسیون کانی‌های سولفیدی در کواترنری (دوره چهارم) ایجاد شده است. شواهد ساختی، بافتی، کانی‌شناسی و ژئوشیمیایی، مانند بافت لایه‌ای سولفیدها با شیست و مرمر، کشیدگی لایه‌های سولفیدی (پیریت و اسفالریت)، بالا بودن عیار روی (۲۸ درصد)، کم بودن عیار مس (۰/۰۱۴ درصد) و نبود ساخت و بافت‌های رگه‌ای، پر کننده فضای خالی و غیره نشان می‌دهد که این کانسار به کانسارهای متصاعدی-رسوبی (Sedex)، بیشتر از کانسار سولفید توده‌ای (VMS) و دره می‌سی‌سی‌پی (MVT) شباهت دارد.

واژه‌های کلیدی: انگوران، ژئوشیمی، کانسار، متصاعدی-رسوبی

### مقدمه

دندی و نزدیک‌ترین آبادی به آن روستای قلعه جوق است و ارتفاع کانسار از سطح دریا حدود ۳۰۰۰ متر است. بهترین راه دسترسی به معدن جاده تهران-زنجان و از زنجان به دندی و سپس به معدن است که تمامی جاده آسفالت است. ذخیره کل کانسار  $\frac{19}{3}$  میلیون تن مخلوط کانسنگ سولفیدی-غیرسولفیدی روی است که

کانسار روی و سرب انگوران در ۱۲۵ کیلومتری غرب زنجان و در زون سنندج-سیرجان و مختصات جغرافیایی ۴۷ درجه ۲۴ دقیقه و ۲۰ ثانیه شرقی و عرض ۳۶ درجه و ۳۷ دقیقه و ۴۷ ثانیه شمالی واقع شده است (شکل ۱). نزدیک‌ترین شهر به معدن، شهر

کانسارهای سرب و روی مشابه در جهان (جدول ۱)، می‌توان یک الگوی کانی‌زایی را برای کانسار روی و سرب انگوران ارائه داد.

جدول ۱- مقایسه خصوصیات انواع کانسارهای سرب و روی

| رسوبی یا Sedex                    | VMS یا متصل‌دهی-                     | سولفید تودهای MVT یا می‌سی‌سی‌پی                | دره می‌سی‌سی‌پی          | خصوصیات کانسارها |
|-----------------------------------|--------------------------------------|---|--------------------------|------------------|
| شلی-کربناتی<br>پروتزوژوئیک بالایی | آتشفسانی<br>از پرکامبرین تا زمان حال | کربنات<br>پالغوزوژیک- کرتاسه                    | سنگ میزان<br>سن کانسار   |                  |
| استراتی فرم<br>لایه بندی          | استراتی فرم<br>لایه بندی             | استراتیباند<br>پرکننده فضای خالی و<br>لایه بندی | مورفولوژی<br>ساخت و بافت |                  |
| ضعیف مشاهده                       | ضعیف مشاهده                          | مشاهده نمی‌شود                                  | دگرگونی                  |                  |
| می‌شود<br>۷/۵                     | می‌شود<br>۰/۳۵-۱                     | ۵/۵   | عیار روی<br>(درصد)       |                  |
| ۲/۵                               | ۱/۵                                  | ۵/۵   | عیار سرب<br>(درصد)       |                  |
| >۰/۱                              | ۲-۱۰٪                                | ۰/۵-۵   | عیار مس<br>(درصد)        |                  |
| مونت ایسا                         | کوروکو                               | پین پوینت                                       | مثال                     |                  |

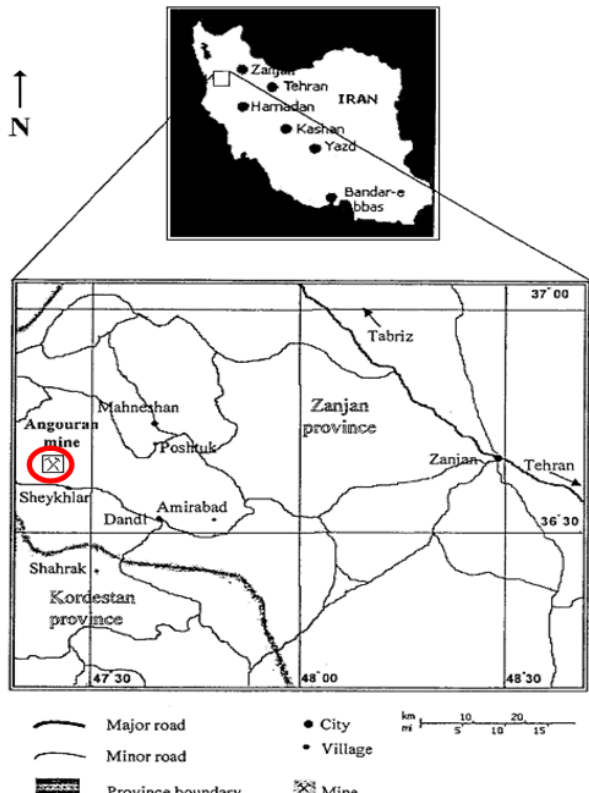
### زمین‌شناسی و چینه‌شناسی معدن انگوران

کانسار انگوران یکی از مهمترین نهشته‌های روی و سرب سولفیدی- کربناتی است که بیش از ۸۰ درصد ذخیره آن را کانسنگ کربناتی و ۲۰ درصد مابقی را کانسنگ سولفیدی تشکیل می‌دهد (Borg and Daliran, 2005) عیار بخش کربناتی آن به طور متوسط ۲۲ درصد روی و ۵ درصد سرب و بخش سولفیدی دارای ۲۷ درصد روی و ۲/۴ درصد سرب است.

این کانسار در منطقه تکاب نهشته شده است که خود بخشی از زون دگرگونی سنندج - سیرجان است. روند عمومی کانسارسازی در جهت شمال غرب - جنوب شرق است که از ساختارهای کلی تکنونیکی منطقه؛ یعنی گسل‌های معکوس و تراستی به خصوص گسل فینرچه - چهارطاق پیروی می‌کند. جایگاه چینه‌شناسی این کانسار مجموعه‌های دگرگونی

۱۴/۶ میلیون تن این ذخیره کانسنگ غیرسولفیدی با عیار ۲۲ درصد روی و ۴/۶ درصد سرب است و در مجموع حدود ۴/۷ میلیون تن کانسنگ سولفیدی با عیار ۲۷/۷ درصد روی و ۲/۴ درصد سرب و ۱۱۰ گرم درتن نقره را شامل می‌شود (Boni, 2005).

فعالیت معدنی در معدن روی و سرب انگوران از سال ۱۳۲۴ با روش استخراج زیرزمینی آغاز و تا پایان سال ۱۳۵۲ همچنان با همین روش ادامه یافت و از سال ۱۳۵۲ تا به امروز این معدن به صورت روابز بهره‌برداری شده است.

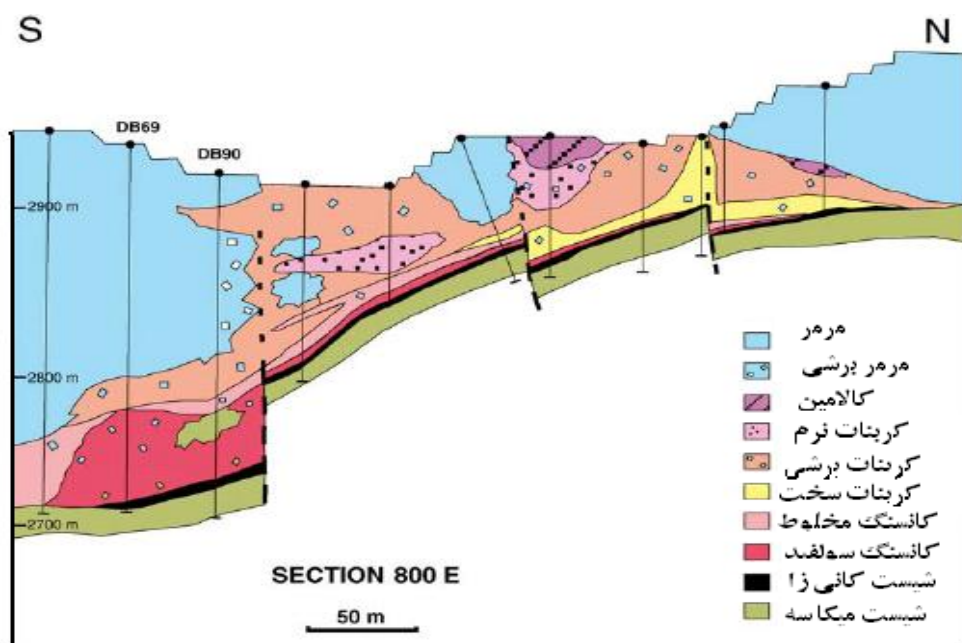


شکل ۱- موقعیت جغرافیایی و راههای ارتباطی معدن انگوران

پس از مطالعات دقیق زمین‌شناسی ناحیه‌ای، چینه‌شناسی، زمین ساخت، کانی‌شناسی، ساخت و بافت، پترولوزی، ژئوشیمیایی و غیره سنگ همبر و ماده معدنی کانسار روی و سرب انگوران و مقایسه آن با انواع

است. شکل ۲ مهمترین واحدهای سنگی معدن انگوران را نشان می‌دهد و حالت لایه‌بندی ماده معدنی و سنگ میزبان نیز مشاهده می‌شود.

پروتروزونیک شمال شرقی تکاب است. این کانسار در آخرین افق‌های دگرگونی منطقه و ما بین سنگ‌های فرو دیواره شیستی و سنگ‌های فرا دیواره مرمر تشکیل شده



شکل ۲- مقطع E-E<sup>۰</sup>، توده معدنی انگوران و سنگ همبر با حالت استراتی فرم (Gilg et al., 2003)

کانی‌زایی و رسوبگذاری یا به عبارتی، کانی‌زایی همزاد (سینزنیک) است که بر اثر ورود محلول‌های گرمابی به درون یک حوضه رسوبی‌ایی به وجود آمده اند (شکل‌های ۳ و ۴).

ب- گالن با زوایای ۱۲۰ درجه: کانی گالن تأثیرات دگرگونی را به شکل تبلور مجدد با زوایه ۱۲۰ درجه نشان می‌دهد که بیانگر دگرگونی همزمان ماده معدنی و سنگ همبر است.

تاکنون ساخت و بافت‌های رگه‌ای، پر کننده فضای خالی، برش انحلالی و همچنین کانی‌های مانند دولومیت زین اسبی، دولومیت اسپاری، فلئوریت و باریت که از مشخصات بارز کانسارهای دره می‌سی‌سی‌پی است، با ماده معدنی (گالن و اسفالریت) در کانسار روی و سرب انگوران دیده نشده است.

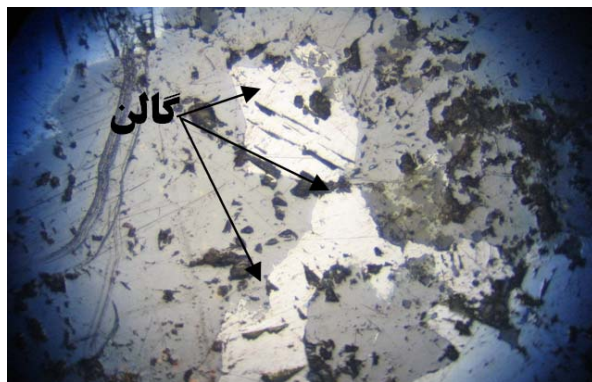
## ویژگی‌های ساختی و بافتی کانسار انگوران

بررسی ویژگی‌های ساختی و بافتی موجود در سنگ‌های همبر و کانسار می‌تواند در شناخت محیط تشکیل و شرایط حاکم به هنگام تشکیل یک کانسار مفید باشد. بررسی دقیق ویژگی‌های ساختی و بافتی و کانی‌شناسی، در تعیین توالی کانی‌شناسی، اکتشاف، نوع کانسارسازی و الگوی کانی‌زایی، فرایندهای اعمال شده بر روی کانسار در طول زمان (تکوین کانسار) و غیره از اهمیت ویژه‌ای برخوردار است.

الف- ساخت لایه‌ای یا نواری: مهمترین ساخت در قسمت سولفیدی در کانسار انگوران، ساخت لایه‌ای یا نواری است. این ساخت شامل لایه‌های متناوب سولفید (اسفالریت، گالن، پیریت و غیره) و سنگ همبر (شیست) است. این ساخت، بیانگر فعالیت متناوب



شکل ۳- شیست‌های کانسار انگوران، چین خوردگی شیست‌ها (سرسیت- کلریتوشیست) به همراه ماده معدنی- نوارهای سولفیدی تیره که همراه سنگ همبر چین خورده اند (علوی نایینی و همکاران، ۱۳۶۱).



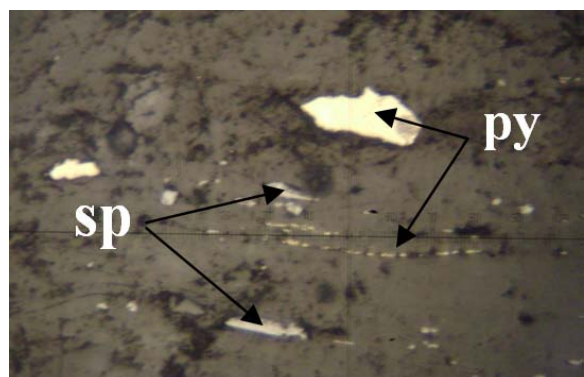
شکل ۶- تبلور مجدد گالن با زاویه ۱۲۰ درجه که مشخصه دگرگونی ماده معدنی با سنگ همبر است.



شکل ۴- ساخت لایه‌ای در مقیاس متوسط لایه، لایه‌های متنابض سولفید و سنگ همبر شیست (سرسیت- کلریتوشیست)، سولفیدهای اولیه پس از تشکیل هم‌مان با سنگ همبر بر اثر هواردگی اکسید شده‌اند.

### کاربرد عیار عناصر (ژئوشیمیایی) در تعیین منشأ کانسار

ویژگی‌های ژئوشیمیایی و رفتار عناصر در ماده معدنی، انعکاسی از شرایط تشکیل کانسار است. بنابراین، بررسی ژئوشیمیایی عناصر در ماده معدنی و مقایسه آن با کانسارهای جهانی می‌تواند در تعیین الگوی کانی‌زایی بسیار مهم باشد. همچنین ویژگی‌های ژئوشیمیایی و رفتار عناصر می‌تواند در پی‌جويی و اکتشاف کانسارهای مشابه با اهمیت باشد (جدول‌های ۱ و ۲).



شکل ۵- لایه‌بندی پیریت و اسفالریت در سرسیت- کلریتوشیست و کشیدگی پیریت (py) و اسفالریت (sp) بیانگر دگرگونی ماده معدنی با سنگ همبر است.

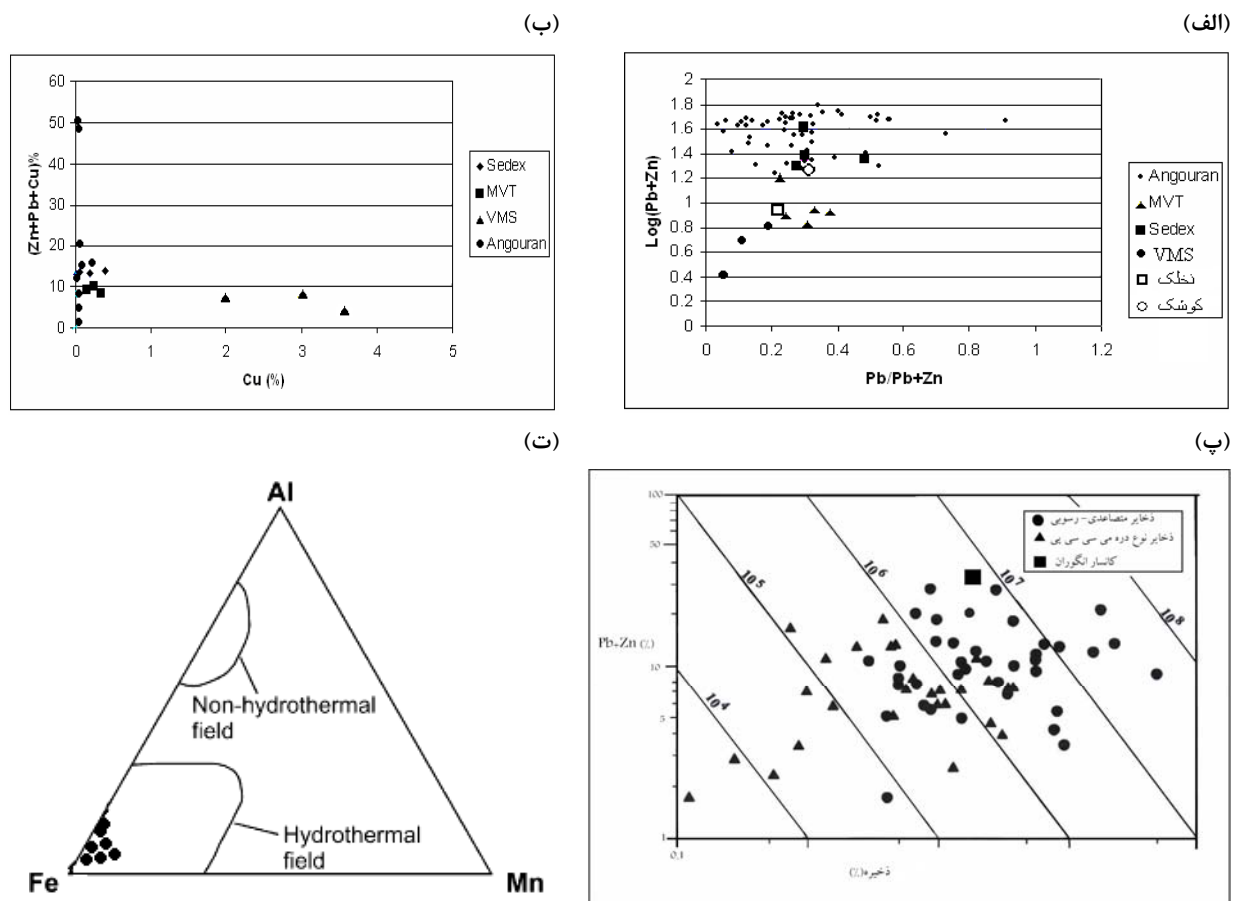
روی و سرب انگوران با کانسارهای سرب و روی نوع متصاعدی-رسوبی یا (Sedex)، بیشتر از کانسارهای سرب و روی نوع دره می‌سی‌سی‌پی (MVT) و سولفیدی-توده‌ای (Sedex)، همخوانی نشان می‌دهد.

بر اساس شکل ۷ استفاده از عیار عناصر روی، سرب، مس، آهن و غیره در بخش سولفیدی کانسار روی و سرب انگوران و مطالعات ژئوشیمیابی و استفاده از نمودارهای بالا می‌توان نتیجه گرفت که بر اساس عیار این عناصر، کانسار

جدول ۱- عیار عناصر از نمونه‌های معدن انگوران\*

| Samples No. | 1      | 2      | 3      | 4      | 5      | 6      | 7     | 8     | 9     | 10 |
|-------------|--------|--------|--------|--------|--------|--------|-------|-------|-------|----|
| (in %)      |        | 0.36   | 0.06   | 0.09   | 0.06   | 0.16   | 0.45  | 1.52  | 1.11  |    |
| Al          | 0.36   | 0.06   | 0.09   | 0.06   | 0.16   | 0.45   | 1.52  | 1.11  |       |    |
| Ti          | 0.02   | <0.005 | <0.005 | <0.005 | 0.007  | 0.02   | 0.06  | 0.06  | 0.065 |    |
| Fe          | 5.75   | 1.83   | 1.95   | 1.96   | 2.57   | 3.59   | 0.87  | 0.16  |       |    |
| Mg          | 0.01   | 0.01   | 0.01   | 0.02   | 0.02   | 0.54   | 0.37  | 0.21  |       |    |
| Ca          | 0.08   | 0.09   | 0.4    | 0.1    | 0.32   | 2.42   | 31.9  | 33.3  |       |    |
| Na          | 0.03   | 0.01   | 0.01   | 0.01   | 0.02   | 0.03   | 0.06  | 0.29  |       |    |
| K           | 0.12   | 0.02   | 0.03   | 0.02   | 0.05   | 0.17   | 0.45  | 0.44  |       |    |
| S           | 0.04   | 0.06   | 0.01   | 0.06   | 0.01   | >10    | 1.08  | 0.04  |       |    |
| (in ppm)    |        |        |        |        |        |        |       |       |       |    |
| Au          | <0.001 | 0.004  |        |        |        |        |       |       |       |    |
| Pt          | 0.017  | <0.005 |        |        |        |        |       |       |       |    |
| Pd          | <0.001 | 0.001  |        |        |        |        |       |       |       |    |
| Ag          | 60.8   | 2.47   | 1.98   | 3.17   | 3.48   | >100   | 1.16  | 4.19  |       |    |
| As          | 2650   | 1910   | 1345   | 1505   | 1650   | 1780   | 55    | 54    |       |    |
| Ba          | <10    | <10    | <10    | <10    | 10     | <10    | 20    | 20    |       |    |
| Be          | 1.73   | 1.12   | 1.05   | 1.1    | 1.11   | 0.11   | 0.45  | 0.56  |       |    |
| Bi          | 0.02   | <0.01  | <0.01  | <0.01  | 0.03   | 0.07   | 0.05  | 0.04  |       |    |
| Cd          | >1000  | >1000  | >1000  | >1000  | >1000  | >1000  | 75.2  | 48.4  |       |    |
| Ce          | 4.41   | 2.53   | 2.19   | 2      | 3.27   | 1.27   | 12.95 | 7.58  |       |    |
| Co          | 436    | 418    | 490    | 505    | 416    | 487    | 11.6  | 5.4   |       |    |
| Cr          | 28     | 4      | 4      | 5      | 12     | 66     | 22    | 37    |       |    |
| Cs          | 1.35   | 0.18   | 0.28   | 0.2    | 0.38   | 1.21   | 1.74  | 3.24  |       |    |
| Cu          | 198.5  | 113    | 107    | 105.5  | 130.5  | 396    | 14    | 10    |       |    |
| Ga          | 66.9   | 9.93   | 12.8   | 10.85  | 16.2   | 56     | 4.31  | 3.76  |       |    |
| Ge          | 0.12   | 0.08   | 0.09   | 0.08   | 0.09   | 0.38   | <0.05 | 0.22  |       |    |
| Hf          | 0.4    | 0.9    | 1      | 0.8    | 2.7    | 0.5    | 0.5   | 4.2   |       |    |
| In          | 8.46   | 0.138  | 0.16   | 0.28   | 1.17   | 5.76   | 0.07  | 0.16  |       |    |
| La          | 3      | 1.6    | 1.4    | 1.3    | 2.2    | 0.8    | 6.7   | 6.3   |       |    |
| Li          | 0.6    | 0.3    | 0.4    | 0.3    | 0.5    | 3.1    | 21    | 4.9   |       |    |
| Mn          | 664    | 619    | 699    | 724    | 642    | 148    | 199   | 343   |       |    |
| Mo          | 10.9   | 10.65  | 20.7   | 8.9    | 76     | 72.5   | 211   | 2890  |       |    |
| Nb          | 0.6    | 0.1    | 0.2    | 0.1    | 0.2    | 0.6    | 1.8   | 2.4   |       |    |
| Ni          | 147    | 71.2   | 74.6   | 90.3   | 82.8   | 100.5  | <0.2  | <0.2  |       |    |
| P           | 90     | 80     | 70     | 60     | 90     | 90     | 50    | 100   |       |    |
| Pb          | 4880   | 3960   | 1930   | 2280   | 2510   | >10000 | 99.5  | 368   |       |    |
| Rb          | 3      | 0.8    | 0.9    | 0.6    | 1.7    | 5.1    | 19.4  | 11.3  |       |    |
| Re          | <0.002 | <0.002 | <0.002 | <0.002 | 0.007  | 0.012  | 0.023 | 0.413 |       |    |
| Sb          | 1850   | 738    | 779    | 702    | 961    | 2490   | 23.9  | 34    |       |    |
| Sc          | 2.1    | 1.1    | 1.1    | 1      | 1.6    | 0.9    | 4     | 4.1   |       |    |
| Se          | 26     | 29     | 30     | 28     | 29     | 27     | 3     | 3     |       |    |
| Sn          | 19     | 0.4    | 0.4    | 0.7    | 2.5    | 16     | 0.6   | 0.7   |       |    |
| Sr          | 2.6    | 1.4    | 2.9    | 1.1    | 1.3    | 13.7   | 255   | 34.9  |       |    |
| Ta          | <0.05  | <0.05  | <0.05  | <0.05  | <0.05  | <0.05  | 0.13  | 0.15  |       |    |
| Te          | <0.05  | 0.06   | 0.05   | <0.05  | 0.06   | <0.05  | <0.05 | <0.05 |       |    |
| Th          | 0.5    | 0.2    | 0.3    | 0.2    | 0.7    | 0.5    | 2.2   | 2.7   |       |    |
| Tl          | 0.35   | 0.09   | 0.11   | 0.09   | 0.11   | 4.45   | 0.09  | 0.15  |       |    |
| U           | 2.1    | 0.7    | 0.7    | 0.6    | 1.2    | 5.5    | 1.2   | 1.9   |       |    |
| V           | 24     | 7      | 9      | 7      | 9      | 22     | 18    | 20    |       |    |
| W           | 7      | 6      | 3.9    | 5.2    | 7.1    | 1.4    | 0.8   | 6.6   |       |    |
| Y           | 3.5    | 2.2    | 2      | 2.2    | 2.8    | 0.5    | 5.5   | 4.9   |       |    |
| Zn          | >10000 | >10000 | >10000 | >10000 | >10000 | >10000 | 7720  | 4730  |       |    |
| Zr          | 14     | 35     | 43.4   | 25.6   | 108.5  | 18.3   | 23.4  | 154.5 |       |    |

\* آنالیزها در شرکت ALS Chemex (کانادا) انجام شده‌اند.



شکل ۷- (الف) نسبت  $\text{Log}(\text{Pb}/\text{Zn})$  در مقابل  $\text{Pb}/(\text{Pb}+\text{Zn})$  در ذخایر نوع دره می‌سی‌پی، نوع متصلعی-رسوبی، نوع متصلعی-آتشفشاری و داده‌های بخش سولفیدی در کانسار انگوران شامل ۵۲ نمونه و همچونی کانسار انگوران با کانسارهای سرب و روی متصلعی-رسوبی (Goodfellow *et al.*, 1993)، (ب) نسبت  $\text{Cu}$  در مقابل  $\text{Pb}+\text{Zn}+\text{Cu}$  در ذخایر نوع دره می‌سی‌پی، نوع متصلعی-رسوبی، نوع متصلعی-آتشفشاری و داده‌های سولفیدی کانسار انگوران که متضاد با کانسار سولفیدی-توده‌ای است (Goodfellow *et al.*, 1993)، (پ) ذخیره و عیار ذخایر سرب و روی نوع دره می‌سی‌پی، ذخایر متصلعی-رسوبی و میانگین ۳۰ نمونه از بخش سولفیدی کانسار انگوران و همچونی بیشتر کانسار روی و سرب انگوران با کانسارهای سرب و روی متصلعی-رسوبی (اقتباس از Sagster, 1990; Borg and Daliran, 2005)، (ت) نمودار سه‌تایی Al-Fe-Mn، شامل جدایش محدوده کانسارهای گرمابی و غیرگرمابی و قرار گرفتن نمونه‌های بخش سولفیدی کانسار روی و سرب انگوران در محدوده کانسارهای گرمابی همانند کانسارهای متصلعی-رسوبی (اقتباس از Bostrom, 1973).

است. به طور کلی، عیار مس در کانسار انگوران پایین است. با مقایسه مقادیر مس در کانسار انگوران با کانسارهای دیگر می‌توان دریافت که عیار مس در این کانسار پایین و با عیار مس در کانسار مونتايسا (نوع متصلعی-رسوبی) قابل مقایسه است (جدول ۳).

مقدار عنصر مس در بخش سولفیدی کانسار انگوران و مقایسه آن با انواع کانسارهای سرب و روی در جهان

میانگین مس در کانسار انگوران حدود ۰/۰۱۴ درصد است که مقدار آن در بخش سولفیدی ۰/۰۱۹ درصد و در بخش کربناتی ۰/۰۱۳ درصد

جدول ۴- مطالعات و الگوی پیشنهادی قبلی در مورد کانسار روی و سرب انگوران.

| نکات قوت  | نظریه (الگوی احتمالی)  | مطالعات قبلی                   | نوع می‌سی‌پی  | بعقوب پسور (۱۳۸۱)   |
|---|--|--------------------------------|---|---|
| شواهد ذکر نشده  |  |                                |   |   |
| هیچ ساخت و بافت پر کننده فضای خالی، رگهای و غیره در ارتباط با ماده معدنی و سنگ هم بر مشاهده نمی‌شود.                  |  |                                |   |   |
| هم زاد با رسوب‌گذاری رسوب‌گذاری دگرسانی کانسارهای سولفیدی-توده ای   | هم زاد با رسوب‌گذاری رسوب‌گذاری دگرسانی                                    | کریم‌پور مسیو سولفید           | پایین بودن عبار مس و نبود مناطق   | (۱۳۸۱) پایین بودن عبار مس و نبود مناطق                                      |
| هم زاد با رسوب‌گذاری رسوب‌گذاری دگرسانی   | هم زاد با رسوب‌گذاری رسوب‌گذاری دگرسانی                                    | غصنفری مسیو سولفید             | پایین بودن عبار مس و نبود مناطق   | (۱۳۷۱) پایین بودن عبار مس و نبود مناطق                                      |
| هم زاد با رسوب‌گذاری رسوب‌گذاری دگرسانی کانسارهای سولفیدی-توده ای   | هم زاد با رسوب‌گذاری رسوب‌گذاری دگرسانی                                    | مسیو سولفید پروتوزوئیک         | پایین بودن عبار مس و نبود مناطق   | Maanijou (2002) پایین بودن عبار مس و نبود مناطق                             |
| هم زاد با رسوب‌گذاری رسوب‌گذاری دگرسانی کانسارهای سولفیدی-توده ای   | هم زاد با رسوب‌گذاری رسوب‌گذاری دگرسانی                                    | مسیو سولفید                    | پایین بودن عبار مس و نبود مناطق   | Gilg <i>et al.</i> (2003) نوع می‌سی‌پی                                      |
| هیچ ساخت و بافت پر کننده فضای خالی، رگهای و غیره در ارتباط با ماده معدنی و سنگ هم بر مشاهده نمی‌شود.                  |  |                                |   |   |
| در ارتباط با سیستم‌های گرمایی بروتوزوئیک بالای و ارتباط با توده‌های گرمایی  | در ارتباط با سیستم‌های گرمایی بروتوزوئیک بالای و ارتباط با توده‌های گرمایی | Hitzman <i>et al.</i> (2003)   |   |   |
| آندریتی   |  |                                |   |   |
| در ارتباط با سیستم‌های گرمایی بروتوزوئیک بالای و ارتباط با توده‌های گرمایی  | در ارتباط با سیستم‌های گرمایی بروتوزوئیک بالای و ارتباط با توده‌های گرمایی | Borg and Daliran (2004 & 2005) | مرتبط بودن با سیستم‌های گرمایی بروتوزوئیک بالای و ارتباط با توده‌های گرمایی | مرتبط بودن با سیستم‌های گرمایی بروتوزوئیک بالای و ارتباط با توده‌های گرمایی |
| آندریتی   |  |                                |   |   |
| هم زاد با رسوب‌گذاری و حالت لایه بندی ماده معدنی و سنگ هم بر  | هم زاد با رسوب‌گذاری و حالت لایه بندی ماده معدنی و سنگ هم بر               | Annels <i>et al.</i> (2003)    | متضادی-رسوی نوع می‌سی‌پی  | Boni (2003)   |
| هیچ ساخت و بافت پر کننده فضای خالی، رگهای و غیره در ارتباط با ماده معدنی و سنگ هم بر مشاهده نمی‌شود از طرفی سنگ هم بر | الگوی نامشخص (۹) (سوپرزن)  | Boni (2005 & 2007)             |   |   |

جدول ۲- عیار عناصر از نمونه‌های معدن انگوران\*\*

| Samples No. | Pb %  | Zn %  | Cu %   | Cd %  | Fe %  | Ag % |
|-------------|-------|-------|--------|-------|-------|------|
| 1           | 0.024 | 0.52  | <0.001 | 0.001 | 1.11  | <5   |
| 2           | 0.014 | 0.093 | <0.001 | 0.001 | 0.21  | <5   |
| 3           | 0.007 | 0.095 | <0.001 | 0.001 | 0.29  | <5   |
| 4           | 0.007 | 0.057 | <0.001 | 0.001 | 0.25  | <5   |
| 5           | 0.006 | 0.066 | <0.001 | 0.001 | 0.57  | <5   |
| 6           | 0.008 | 0.046 | <0.001 | 0.001 | 0.522 | <5   |
| 7           | 0.007 | 0.084 | <0.001 | 0.001 | 1.15  | <5   |
| 8           | 0.007 | 0.065 | <0.001 | 0.001 | 3.06  | <5   |
| 9           | 0.009 | 0.087 | <0.001 | 0.001 | 0.27  | <5   |
| 10          | 0.017 | 0.17  | <0.001 | 0.003 | 0.11  | <5   |
| 11          | 0.06  | 1.1   | 0.004  | 0.013 | 0.6   | <5   |
| 12          | 2.39  | 48.6  | 0.03   | 0.6   | 0.57  | 205  |
| 13          | 0.17  | 53.2  | 0.036  | 0.6   | 3.53  | 270  |
| 14          | 0.02  | 0.3   | 0.003  | 0.005 | 0.90  | <5   |
| 15          | 0.017 | 0.14  | 0.002  | 0.002 | 2.96  | 5    |
| 16          | 0.025 | 0.32  | 0.015  | 0.003 | 5.33  | <5   |
| 17          | 0.019 | 0.36  | 0.003  | 0.004 | 2.47  | <5   |
| 18          | 0.087 | 18.8  | 0.009  | 0.131 | 2.1   | 58   |
| 19          | 0.1   | 0.76  | 0.003  | 0.008 | 3.2   | <5   |
| 20          | 0.64  | 4.34  | 0.004  | 0.04  | 9.6   | <5   |
| 21          | 4.95  | 40    | 0.013  | 0.33  | 6.3   | 12   |
| 22          | 0.38  | 42    | 0.021  | 0.156 | 8.9   | 23   |
| 23          | 0.25  | 49    | 0.016  | 0.267 | 2.7   | <5   |
| 24          | 0.42  | 8.2   | 0.011  | 0.06  | 3.9   | 8    |
| 25          | 0.23  | 51.6  | 0.014  | 0.08  | 2.6   | 12   |
| 26          | 0.22  | 44.7  | 0.015  | 0.07  | 6.3   | 23   |
| 27          | 0.43  | 51.9  | 0.015  | 0.234 | 2     | 6    |
| 28          | 0.59  | 50    | 0.017  | 0.26  | 2.8   | <5   |
| 29          | 0.35  | 48    | 0.019  | 0.34  | 4.8   | 30   |
| 30          | 0.24  | 52.3  | 0.013  | 0.262 | 1.96  | 33   |

\*\* آنالیزها در شرکت معدنکاران انگوران انجام شده‌اند.

جدول ۳- فراوانی مس در بعضی از کانسارهای سرب و روی نشان می‌دهد.

| Cu%     | کانسار | Cu%   | کانسار               |
|---------|--------|-------|----------------------|
| ۱/۳     | کروکو  | ۰/۰۶  | مونت ایسا            |
| ۰/۵-۵   | قبرس   | ۰/۲   | بروکن هیل            |
| ۱/۵-۴/۸ | بشی    | ۲/۴۶  | کید کریک             |
|         |        | ۱/۵   | مسیو سولفیدهای آرکشن |
|         |        | ۰/۰۱۴ | انگوران              |

## مطالعات و پیشنهادهای قبلی در مورد الگوی

### کانی‌زاوی کانسار انگوران

در جدول ۴ الگوهای پیشنهادی کانسارسازی روی و سرب انگوران آورده شده است:

۶- ضمن صعود محلول‌های گرمابی به درون حوضه رسوی ابتدا محلول گرمابی شماره ۱ (غنى از آهن) وارد حوضه رسوی می‌شوند. حوضه رسوی (شیلی- کربناتی)، به دلیل شرایط احیایی و حضور باکتری‌های احیاء کننده که با ورود محلول‌های گرمابی شماره ۱ (حاوی کلریدهای آهن) و تماس این محلول‌ها با  $H_2S$  و  $HS^-$ ، سولفید آهن به صورت مکیناًوبت تشکیل می‌شود که بعداً به پیریت تبدیل می‌شود.

۷- پس از آن محلول‌های شماره ۲ (حاوی کلریدهای سرب و روی) وارد حوضه رسوی شده، بر اثر تماس با  $H_2S$  و  $HS^-$ ، سولفیدهای سرب و روی (گالن و اسفالریت)، تشکیل می‌شود.

۸- تشکیل کانی‌های پیریت، گالن و اسفالریت در حوضه رسوی همزمان با تشکیل سنگ همبر بوده که بیانگر همزاد بودن کانسار انگوران است.

۹- تشکیل کانی‌های پیریت، گالن و اسفالریت به صورت لایه‌بندی با سنگ میزبان است، که تکرار لایه بندی با رسوبات در شکل‌های ۴، ۳ و ۵ نشان داده شده است.

۱۰- پس از تشکیل ماده معدنی به صورت سین ژنتیک، ماده معدنی به همراه سنگ همبر چین خورد، دگرگون می‌شود. این دگرگونی در زمان پس از پرکامبرن پسین- کامبرین زیرین صورت گرفته است (شکل ۶).

۱۱- پس از تشکیل ماده معدنی و با گذشت زمان، بر اثر چین خوردگی و دگرگونی و بالا آمدگی منطقه و نفوذ آبهای سطحی، باعث هوازگی ماده معدنی و اکسیداسیون پیریت موجود در ماده معدنی شده که این امر باعث تشکیل محلول‌های اسیدی می‌شود که ضمن انحلال روی، موجب

## الگوی کانی‌زایی در کانسار انگوران

۱- ریفتی شدن منطقه مورد مطالعه در زمان اینفراکامبرین باعث نفوذ آب دریا از طریق شکستگی‌های عمیق و گسل‌های کشنده به کف حوضه (پوسته قاره‌ای پرکامبرین) می‌شود. آب دریا ضمن نفوذ به عمق، بر اثر گرادیان زمین گرمابی که در مناطق ریفتی نسبتاً بالا است، گرم شده، مستعد جهت شستشوی عناصر کانی‌زا است.

۲- واحد پوسته‌ای در زمان اینفراکامبرین توالی‌های دگرگونی بوده که مقادیر بیشتری روی را دارا است و واحدهای رسوی در آن زمان شیل (شیست) بوده‌اند.

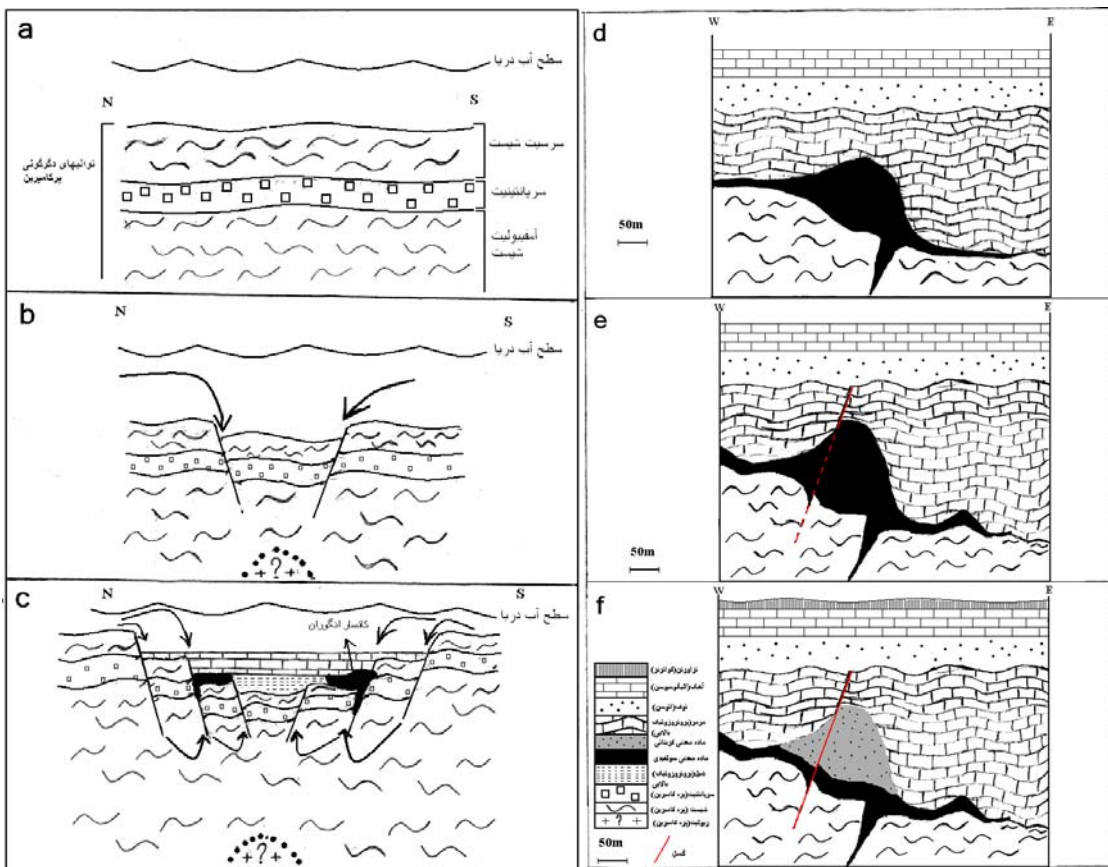
۳- بر حسب عمق نفوذ آب دریا، آب دریا ابتدا عنصر آهن، منگنز، سرب و روی را به صورت کمپلکس‌های کلریدی و عنصر سیلیس را به صورت  $(H_4SiO_4)$  از سنگ‌های پوسته‌ای آزاد می‌کند.

۴- با بالا رفتن غلظت عناصر و دمای محلول‌های فوق، فشار محلول‌ها بالا رفته و بر اثر جریان‌های هم‌رفتی و در امتداد گسل‌های کشنده، ابتدا محلول گرمابی شماره ۱ (حاوی آهن) و سپس محلول گرمابی شماره ۲ (حاوی سرب و روی) به سمت بالا حرکت می‌کند.

۵- ضمن حرکت محلول‌ها به سمت بالا، این محلول‌ها مجدداً بر روی سنگ‌های دگرگونی پرکامبرین تاثیر گذاشته که تاثیر محلول گرمابی شماره ۱ به دلیل دمای پایین تر کمتر است. اما محلول‌های گرمابی شماره ۲ (حاوی سرب و روی) به دلیل دمای بالاتر بیشتر بوده، عنصر روی را به دلیل اندیل اتحاد بالای آن به شدت از شیست پرکامبرین می‌شویند. این محلول گرمابی از روی به شدت غنی می‌شود.

۱۲- به طور کلی، اتحال روی و تشکیل اسمیت سونیت در طول این فرایند باعث تشکیل کانسار سوپرژن انگوران (شکل ۷) در زمان کواترنر شده است.

حرکت آن به سمت پایین می‌شوند. با برخورد این محلول‌های اسیدی به سنگ‌های کربناتی و خنثی شدن این محلول‌ها، روی به صورت کربنات روی (اسمیت سونیت) تشکیل می‌شود.



شکل ۸- الگوی احتمالی تشکیل کانسار روی و سرب انگوران به ترتیب مراحل مختلف با مقیاس تقریبی. (a) توالی‌های دگرگونی، (b) ریختی شدن منطقه و نفوذ آب دریا به عمق، (c) شستن عناصر و حرکت محلول‌ها به سمت بالا و تشکیل همزمان ماده معدنی با سنگ همبر، (d) چین خوردگی منطقه، (e) گسل خوردگی منطقه و نفوذ آب‌های سطحی، (f) تشکیل کانسار روی غیر سولفیدی (سوپرژن).

عناصر مذکور به درون حوضه رسوی احیایی به وجود آمده است. سنگ میزبان در کانسار انگوران، مرمر و شیسته‌های سازند کهر، با سن پروتوژنیک هستند که لایه‌بندی بین ماده معدنی و سنگ همبر به خوبی مشخص است که بیانگر تشکیل همزمان ماده معدنی و سنگ همبر است. پس از تشکیل ماده معدنی به صورت سین ژنتیک، ماده معدنی به همراه سنگ همبر چین

### نتیجه‌گیری

بر اساس مطالعات چینه‌شناسی، بافت و ساخت، کانی‌شناسی، پترولوزی، ژئوشیمیایی و غیره کانسار انگوران یک کانسار متصاعدی- رسوی (Sedex) است. - کانسار انگوران در یک حوضه ریختی بر اثر نفوذ آب دریا به کف حوضه و شستن عناصر سرب، روی، آهن و غیره، انتقال عناصر و فوران محلول‌های گرمایی حاوی

این کانسار به کانسارهای متصاعدی-رسوبی (Sedex) بیشتر از کانسار سولفید توودهای (VMS) و دره می‌سی‌سی‌پی (MVT) شباهت دارد. حضور پیریت کافی در ماده معدنی شرایط لازم جهت تشکیل کانسار سوپرژن انگوران را فراهم می‌آورد. کانسار انگوران یک کانسار روی غیرسولفیدی، سوپرژن است.

خورده و دگرگون می‌شود. شواهد ساختی، بافتی، کانی‌شناسی و ژئوشیمیایی، مثل: بافت لایه‌ای سولفیدها با شیست و مرمر، کشیدگی لایه‌های سولفیدی (پیریت و اسفالریت)، بالا بودن عیار روی (۲۸ درصد)، کم بودن عیار مس (۰/۱۴ درصد) و نبود ساخت و بافت‌های رگه‌ای، پر کننده فضای خالی و غیره نشان می‌دهد که

## منابع

- علوی‌نایینی، م.، پلیسه، ج.، حاجیان، ج.، عمیدی، م.، بلورچی، ح.، طاووسیان، ح.، آقانباتی، ع. (۱۳۶۱) تهیه نقشه زمین‌شناسی منطقه تکاب. گزارش شماره ۵۰، وزارت صنایع و معادن کشور.
- غضنفری، ف. (۱۳۷۱) پتروژنر سنگ‌های دگرگونی در شمال شرقی تکاب و با نگرشی ویژه به کانی‌سازی روی و سرب در معدن انگوران. پایان‌نامه کارشناسی ارشد، دانشگاه تهران، ایران.
- کریم‌پور، م. ح. (۱۳۸۱) زمین‌شناسی اقتصادی کاربردی. انتشارات نشر مشهد.
- یعقوب‌پور، ع. (۱۳۸۱) زمین‌شناسی اقتصادی. انتشارات دانشگاه تربیت معلم.

- Annels, A. E., O'Donovan, G. and Bowles, M. (2003) New ideas concerning the genesis of the Angouran Zn-Pb deposit, NW Iran. 26<sup>th</sup> Mineral Deposits Studies Group, Abstracts, University of Leicester (UK).
- Boni, M. (2003) Non-sulfide zinc deposits: a new-(old) type of economic mineralization. SGA News Nr. 15, 1:6–11.
- Boni, M. (2005) Marble- hosted sulphide ores in the Angouran Zn-(Pb-Ag) deposits, NW Iran:interaction of sedimentary brines with a metamorphic core complex. Mineralium Deposita 1: 1-16.
- Boni, M., Gilg, A., Moore, F., Schneider, J. and Allen, C. R. (2007) Hypogene Zn carbonate ores in the Angouran deposits, NW Iran. Mineralium Deposita 1: 22.
- Borg, G. and Daliran, F. (2004) Hypogene and supergene formation of sulphides and non-sulphides at the Angouran high-grade zinc deposit, NW-Iran. Abstract volume of geoscience Africa 2004, University of the Witwatersrand, Johannesburg.
- Borg, G. and Daliran, F. (2005) Genetic aspects of the Angouran non sulphide zinc ore deposite, NW-Iran as an exploration guide for non sulphide zinc ores, Mining and Sustainable Development. 20<sup>th</sup> World mining congress, Tehran, Iran.
- Bostrom, K. (1973) Submarine volcanism as a source for iron. Earth Planetary Science Letters 9: 348-354.
- Gilg, H.A., Allen, C., Boni, M. and Moore, F. (2003) The 3-stage evolution of the Angouran Zn "oxide"- sulphide deposite, Iran. In: Eliopoulos *et al.* (Eds.): Mineral exploration and sustainable development. Millpress, Rotterdam 77-80.
- Goodfellow, W.D., Lyden, J. W. and Turner, R.J.W. (1993) Geology and genesis of stratiform sediment-hosted (sedex) zinc-lead-silver sulphide deposits. Geological Association of Canada, Special Paper 40: 201-251.
- Hitzman, M. W., Sagster, D., Allen, C. R., 2003, Classification, genesis, and exploration guides for nonsulphide zinc deposits. Economic Geology 98: 685-714.
- Maanijou, M. (2002) Proterozoic metallogeny of Iran. Metallogeny of Precambrian Shields. International Symposium on the metallogeny of Precambrian shields, Kiev, Ukraine.

## **Structural, textural, mineralogical and geochemical features and the pattern of the Angoran ore deposit in the Sedex-VMS-MVT triangle**

**Mohammad Hassan Ebrahimi, Alijan Aftabi \*** and **Ramin Mohamadi Niaezi**

Department of Geology, Faculty of Science, Shahid Bahonar University, Kerman, Iran

### **Abstract**

The Angouran Zn-Pb deposit is located about 120 Km Zanjan Province, within Sanandaj-Sirjan Zone. The deposit occurs in metamorphosed schists and marbles of Proterozoic age. The deposit contains about 4.7 Mt of sulfide ore, grading 27.7% Zn, 2.4% Pb and 110 g/t Ag and 14.6 Mt of oxidized carbonate ores, grading 22% Zn and 4.6% Pb. The Angouran Sedex deposit formed as a result of continental rifting and exhalation of seawater hydrothermal solutions into the seafloor and syngenetic deposition of sphalerite and galen within shales and carbonates. The deposit was then metamorphosed along with schists and marbles. Supergene oxidation of sulfide minerals and redeposition and replacement of zinc and lead formed the non-sulfide carbonate ores in Quaternary period. Based on structural, textural, mineralogical and geochemical evidence such as sulfides-schists foliation in marbles and schists, elongation of pyrite and sphalerite, high grade of Zn (28%), low grade of Cu (0.014%), and the absence of space filling and vein controlled mineralization, the Angouran Zn-Pb deposit resembles the exhalative sedimentary (Sedex) deposit, rather than Mississippi valley type (MVT) or volcanogenic massive sulfide (VMS) deposit.

**Key words:** Angoran, Geochemistry, Ore deposit, Sedex

---

\* aftabi@mail.uk.ac.ir